# 空化水射流物理化学效应分析

邓松圣1 雷飞东1 李赵杰2 沈银华1

1.中国人民解放军后勤工程学院,重庆 401311 2.65113 部队,辽宁 沈阳 110000

#### 摘要:

空化水射流是射流流场某点压力降至饱和蒸汽压以下,伴随有气泡产生、长大和破灭过程的一 种新型射流,空泡溃灭产生瞬间高温和高压现象,伴随有 H+和 OH+等强氧化物质的产生。利用高温、 高压及微射流等物理效应,可以显著地提高射流清洗、除锈、破碎效果及改善金属表面性能的能力。 通过机械剪切、热解、自由基氧化和超临界水氧化等化学效应,可以对毒性难降解有机物进行化学 降解。空化水射流在石油、矿业及环保等领域具有广阔的应用前景。

# 关键词:

空化;射流;物理效应;化学效应

文献标识码:A

文章编号:1006-5539(2011)04-0081-04

# 0 引言

空化现象是指液体中某点压力降至饱和蒸汽压 以下形成的气泡产生、长大的过程。在工程实践中,产 生空化主要有两种途径,一是通过声场,如超声和转 能器空化,如前所述;另一是流体流动的动力效 应——水力空化、体空化、水翼空化、旋涡空化、尾流-湍流空化、射流空化等。以前,在机械工程领域对空化 的研究最感兴趣的是要避免其破坏作用,如管道、阀 门、水泵、涡轮和螺旋桨的剥蚀破坏,对空化机理的研 究主要是对气泡的产生、长大及破灭进行的研究较 多。目前,可控空化已用于为人类服务,如超声清洗、 侵蚀、切割和毒性有机物的降解等。

## 1 空化产生

在温度不变的条件下,如果忽略形成小气泡时表 面张力的微小作用,则液流局部的绝对压力降低到当 地温度下的饱和蒸汽压力时,液体内部原来含有很小 的气泡(通称气核)将迅速膨胀,在液体内部形成含有 水蒸气或其他气体的空泡,从而产生空化现象。

通常采用无量纲参数"空化数"来量化研究水流 中的空化现象。对于具体的水射流系统中,空化数  $\sigma$ 定义为:

$$\sigma = \frac{p_{\infty} - p_v}{\frac{1}{2} \rho u_{\infty}^2} \tag{1}$$

式中  $p_{\infty}$  — 环境压力, Pa;

 $p_v$ ——液体的饱和蒸汽压,Pa;

 $\rho$ ——液体的密度,kg/m<sup>3</sup>;

 $u_{\infty}$ ——射流的速度,m/s<sub>o</sub>

当流场内最低压力达到空化核不稳定的临界压 力 $p_i$ 时,首先在该处发生空化现象,此时的空化数称 为临界空化数或初生空化数,用 $\sigma$ ,表示:

#### 收稿日期:

2011-05-13

## 基金项目:

重庆市科技攻关项目(CSTC,2010AC7034);重庆市自然基金项目(CSTS,2009BB7177);后勤工程学院学术创新基金项目(yz0643601)

邓松圣(1963-),男,重庆人,教授,博士生导师,主要从事油气储运理论和技术研究。

$$\sigma_i = \frac{p_i - p_v}{\frac{1}{2} \rho u_\infty^2} \tag{2}$$

对流场中, 当  $\sigma > \sigma_i$  时, 不会发生空化; 当  $\sigma < \sigma_i$ 时,发生空化。 $\sigma$  值越小,越容易产生空化。 $\sigma$ : $\sigma$  越大, 空化程度越高。

根据空化水射流形成的条件,有三种比较普遍的 产生空化的机制:尾流中的空化初生、振荡型空化初 生、高剪切流区内的空化初生。

利用射流产生空化效应的基本原理是,从喷嘴出 来的射流在其内部诱生成充满水蒸气的空化泡,当喷 嘴与冲击物体表面距离适宜时,这些空化泡便经历长 大和压缩过程,进而破灭,产生空化效应。在工程实际 中,剪切型空化射流以 Yanaida、日本 Yoshiaki 教授等 研究的简单角形喷嘴为代表,见图 1<sup>[1]</sup>。普通的淹没水 射流和人工淹没水射流也属于剪切型空化射流,一般 地, 当射流速度大于 30 m/s 便产生空化现象。简单角 形喷嘴由于喷嘴出口段扩散角的作用,加剧了射流和 周围液体间的剪切作用,有利于产生空化。

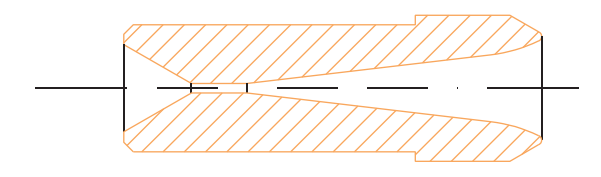


图 1 角形喷嘴

## 2 空化的物理效应

空泡溃灭过程是一个复杂的物理化学过程,空泡 溃灭时将伴随产生局部高温、高压现象,其压力用下 式描述:

$$\frac{p_{\text{max}}}{p_0} = 1 + \frac{\left[ (R_0/R)^3 - 4 \right]^{\frac{4}{3}}}{4^{\frac{3}{4}} \left[ (R_0/R)^3 - 1 \right]^{\frac{1}{3}}}$$
 (3)

式中  $p_{\text{max}}, p_0$  一气泡的最高压力和初始压力, Pa;  $R \ R_0$  一气泡的半径和初始半径, mm, 在破灭 过程中,如 $R_0/R=25$ 时, $p_{max}=2461$ 

可见,水蒸气泡破灭时,产生非常高的压力。

将空化射流引入高压水射流后,空化水射流冲击 压力与普通连续高压水射流的冲击压力关系为:

$$p_i = \frac{p_s}{6.35} \exp\left(\frac{2}{3a}\right) \tag{4}$$

式中  $p_i$ ——空化射流冲击压力,Pa;

 $p_s$ ——连续射流冲击压力, Pa;

a——液体内气体含量,可以看出,当 a=1/6~

1/10  $\mbox{lh}^{[2\sim3]}, p_i = (8.6\sim124)p_{s\circ}$ 

当纯空气泡绝热收缩时,产生的局部温度由下式 计算:

$$T/T_0 = (R_0/R)^{3(\gamma-1)} \tag{5}$$

式中  $\gamma$ ——绝热指数,可取  $\gamma$ =4/3;

T、 $T_0$ ——压缩过程终了时的气体温度与初始时 的气体温度,K。

可见, 空化水射流的物理效应具有巨大能量,在 清洗、切割、破碎和除锈等方面具有广阔应用前景。

# 2.1 清洗

空化水射流清洗以水为介质,在高压条件下对物 件进行清洗,同时,利用空化效应产生的高温、高压及 微射流的作用,具有环保、节能、高效、无腐蚀、不损坏 滤芯基体、装置简单和易操作等特点。

美国学者Patricia,McGrew Garcia 及Brooks Bradford 将超声空化水射流用于管道清洗技术,研究发现用超 声空化清洗技术与传统的清洗方法相比,大大减少所 需清洗时间及耗水量。此外,超声空化清洗技术清洗 管道可减少被清洗件的腐蚀,而且对碳氢化合物类沉 淀物的清洗特别有效[4]。

#### 2.2 材料切割、岩石破碎和油井解堵

空化水射流被用来替代普通射流进行破碎和切 割等作业,提高水射流加工的效率。如 Ryoji Aoyagi 等 人通过将空化水射流流过直径为 0.15 mm 的燃料喷 嘴, 经过不到 15 min 就将其上小于 10 μm 的机加工 毛刺去掉[5]。

在石油和矿业的钻井工程中,空化水射流用于提 高钻井速度,并且采用自振空化水射流,进行油井解 堵并提高原油采收率。

## 2.3 改善材料的表面性能

利用空化水射流空泡溃灭时作用在材料表面上 的冲击力可以极大地提高材料的表面性能。在实际应 用中,通过对合金工具钢 JIS SKD61(日本标准)制造 的热锻模进行空化喷射硬化处理后,模具的寿命提高 了约50%。

## 2.4 材料的超细粉碎

空化水射流在气泡溃灭过程中产生的冲击波和 微射流对周围的物料具有巨大的冲蚀作用,使物料粉 碎。大量研究结果表明,利用空化水射流可以高效率 地使物料粉碎为小于 10 μm 的超细颗粒;自振式空化 水射流粉碎物料的产量与效率分别是球磨机的 6.6 倍 和 3.9 倍[6]。

# 3 空化的化学效应

当水体中含有高分子化合物时,空泡溃灭产生的 高温、高压及微射流同样会对高分子有机物产生作 用,使高分子断链分解,同时空泡溃灭对水作用产生 的强氧化物和自由基与高分子有机物反应,降解常规 情况下难以降解的有机物,如苯酚等。其降解机理包 括机械剪切、热解、自由基氧化和超临界水氧化等。

# 3.1 机械剪切

在含有聚合物的多相体系中,由于空化泡崩灭时 会使传质模质的质点产生很大的瞬时速度和加速度, 引起剧烈的振动,产生强大的液体剪切力,使大分子 主链上碳键产生断裂,使高分子物质降解[7]。

#### 3.2 热解

由于空泡破灭,在局部地点形成瞬间高温,高分 子化合物发生解链反应,如烃类解链生成自由基和自 由原子[8]:

#### $RH \rightarrow R \cdot + H \cdot$

非极性、易挥发溶质的蒸汽也能直接热分解如 CCl<sub>4</sub>:

CCl<sub>4</sub>→CCl<sub>3</sub>+Cl·

CCl<sub>3</sub>→CCl<sub>2</sub>+Cl·

水蒸气解离产生 H<sub>2</sub>O<sub>2</sub> 等强氧化物,通过这些强 氧化物,又进一步氧化污染水体中的有机物,如:

CH<sub>3</sub>OH+H<sub>2</sub>O<sub>2</sub>→HCOOH+H<sub>2</sub>O

HCOOH+H<sub>2</sub>O<sub>2</sub>→CO<sub>2</sub>+H<sub>2</sub>O+H<sub>2</sub>

最终使有机物分解、氧化成溶于水或低粘度的物 质,达到降解的目的。

# 3.3 自由基氧化

空泡溃灭时,水中会产生局部的高浓度游离状态 的·OH、·H、O·等自由基,并产生高压和微射流,产生 强烈的剪切力,使大分子主链上碳键断裂,产生自由 基。由于自由基的强氧化性,与溶液中溶质进行反应, 实现降解。例如,·OH 非常活跃,能脱去有机分子(如 烃类物质)上的一个氢,形成R·自由基,R·能被水中 溶解氧进一步氧化成 RO:, RO: 也是强氧化剂,这样 自由基不断产生不断氧化,大大增强了空化的氧化效 率,部分反应如下[9]:

 $RH + \cdot OH \rightarrow R \cdot + H_2O$ 

 $R \cdot + O_2 \rightarrow RO_2 \cdot$ 

 $ROO \cdot + RH \rightarrow R \cdot + HO_2 \cdot$ 

 $RH+O_2\rightarrow R\cdot +HO_2\cdot$ 

 $RH+HO_2 \cdot \longrightarrow R \cdot +H_2O_2$ 

随着反应的继续,烃基过氧化物不断分解,并与 新的烃分子或自由基作用,进一步氧化生成中间产 物,如醇和酮,反应如下:

RR'CH-OOH→RR'CHO·+·OH

RR'CHO·+RH→RR'CHOH+R·

#### 3.4 超临界水氧化

在空泡破灭过程中,形成超临界水,有利于提高 大多数化学反应速度,例如低挥发性溶质如对硝基苯 乙酸酯在瞬时超临界水相的反应如下:

$$O$$
— $C$ — $CH_3$   $OH$ 
 $H_2O/\cdot OH$ 
超临界水  $+CH_3COOH$ 
 $NO_2$ 

实验研究表明,羟基自由基氧化降解苯酚的机理 如下:首先,苯酚在·OH的作用下被氧化为对苯二酚 或邻苯二酚,然后,继续被氧化为醌类化合物,之后开 环形成脂肪酸(如丁烯二酸和乙酸),最终降解为二氧 化碳和水,反应过程如下[10]。

目前已进行的实验表明:空化射流对苯酚具有降 解效果, 在平均 15 MPa 的中低压条件下, 经过 800 min 的降解,累计降解率可达 70.9%。

# 4结论

空化水射流是一种易于获得的新型射流,空化形成的机制有尾流中的空化初生、振荡型空化初生和高剪切流区内的空化初生等形式;空泡破灭产生的局部高温和高压,具有巨大的能量,在清洗、切割、破碎、除锈和金属材料表面强化等方面具有广阔应用前景;并且,空化射流伴随有机械剪切、热解、自由基氧化和超临界水氧化等作用,对毒性难降解有机物进行降解,化学效应突出。

#### 参考文献:

- [1] 沈忠厚. 水射流理论与技术[M]. 东营: 石油大学出版社, 1998.
- [2] 沈银华,邓松圣,张 洁,等. 轴对称淹没水射流喷管内外紊 流流场数值模拟[J]. 后勤工程学院学报,2007,23(2):33-36.
- [3] 邓松圣,沈银华,李赵杰,等. 空化射流喷嘴流场的数值模拟

- [J]. 后勤工程学院学报,2008,24(2):42-46.
- [4] Patricia, McGrew Garcia, Brooks Bradford. Hydrokinetic Using the Cleaning of Exchanger Tubes and Pipes [A]. Proc of the 10th American Water Jet Conference, Houston Texas [C]. Chicogo: Dearborn, 1999.
- [5] Ryoji Aoyagi, Ryuichi Fujiwara, Tokwo Niita. Possibility of Metal Processing Using Ultrasonic Cavitation Jet [J]. Japanese Journal of Applied Physics, 2001, 40(2):3784-3786.
- [6] 付 胜. 热力辅助水射流超细粉碎装置设计理论及实验研究——射流粉碎的空化效应[D]. 北京:中国矿业大学, 2002.
- [7] 卢义玉,李 情,李晓红,等. 空化水射流空泡云长度的试验研究[J]. 流体机械,2006,34(5):9-11.
- [8] 卢义玉,左伟芹,李晓红,等. 空化水射流-双氧水处理苯酚 废水的机理分析空化射流处理有机废水的机理[J]. 重庆大学学报自然科学版,2008,31(10):19-22.
- [9] 葛 强,李晓红,卢义玉,等. 空化射流处理有机废水的机理 [J]. 重庆大学学报自然科学版,2007,30(5):19-22.
- [10] 张风华, 廖振方, 唐川林, 等. 空化水射流的化学效应[J]. 重庆大学学报, 2004, 27(1): 32-35.